

# Численное моделирование электроионизационного и проточного электроразрядного СО-лазеров

Ш.Ф.Арасланов\*, Р.К.Сафиуллин\*\*

*Развит эффективный метод численного исследования проточных электроразрядных и электроионизационных СО-лазеров. Используемая модель включает в себя уравнения колебательной кинетики, уравнение для функции распределения электронов по энергиям и уравнения радиационной газовой динамики. Предложенный метод основан на разделении системы уравнений на несколько подсистем, относящихся к различным физическим процессам (метод расщепления). Выполнены расчеты населенностей колебательных уровней, коэффициентов усиления, интенсивностей линий излучения, выходной мощности и КПД СО-лазеров, проведено их сравнение с экспериментом.*

**Ключевые слова:** СО-лазер, колебательные уровни, коэффициент усиления, спектр генерации.

## 1. Введение

Развитие эффективных численных методов, адекватно описывающих основные процессы в СО-лазерах направлено на поиск оптимальных режимов их работы. Эта задача не утратила своей актуальности до настоящего времени. Описываемая ниже математическая модель проточного электроразрядного СО-лазера включает в себя уравнения поуровневой колебательной кинетики для молекул СО и N<sub>2</sub>, уравнение для функции распределения электронов по энергиям (ФРЭЭ), уравнения газодинамики и уравнения для интенсивностей линий излучения СО-лазера. Она является развитием модели, предложенной в [1]. Помимо одноквантовых переходов в молекулах СО здесь могут учитываться также двухквантовые и многоквантовые переходы. Разработанная программа позволяет рассчитывать населенности колебательных уровней молекул СО и N<sub>2</sub>, коэффициенты усиления и интенсивности линий генерации, выходную мощность и КПД СО-лазера. Сложная система дифференциальных уравнений решается методом разделения ее на несколько подсистем, описывающих различные физические процессы (метод расщепления).

## 2. Уравнения колебательной кинетики

Для описания колебательных уровней E<sub>n</sub><sup>(1)</sup> и E<sub>n</sub><sup>(2)</sup> молекул СО и N<sub>2</sub> используется модель ангармонического осциллятора Морзе:

$$E_n^{(j)} = E_1^{(j)} n - \Delta E^{(j)} n(n-1), \quad j = 1, 2, \quad n = 0, 1, \dots, \quad (1)$$

$$E_1^{(1)} = 3084 \text{ K}, \quad \Delta E^{(1)} = 18.7 \text{ K}, \quad E_1^{(2)} = 3353 \text{ K}, \quad (1)$$

\*НИИ математики и механики им. Н.Г.Чеботарева при Казанском государственном университете, Россия, 420008 Казань, Университетская ул., 17; e-mail: ashamil@ksu.ru

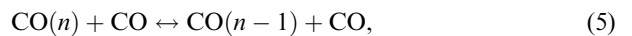
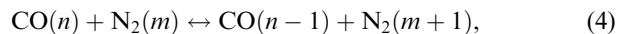
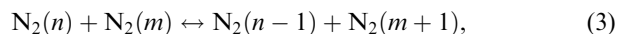
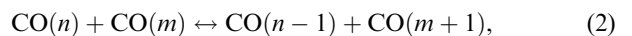
\*\*Казанская государственная архитектурно-строительная академия, Россия, 420043 Казань, Зеленая ул., 1; e-mail: sladkov@ksaba.ru

Поступила в редакцию 19 февраля 2001 г.

$$\Delta E^{(2)} = 21.1 \text{ K}.$$

Значение n = 0 соответствует здесь нулевому (основному) колебательному уровню основного электронного состояния молекул СО и N<sub>2</sub>. В расчетах учитывалось до 60 колебательных уровней СО и до 50 колебательных уровней N<sub>2</sub>.

В лазерной смеси СО–N<sub>2</sub> учитывались следующие процессы колебательно-колебательного (VV) и колебательно-поступательного (VT) обмена:



Рассматривались также лазерные смеси СО–He и СО–Ar.

Удобно ввести нормированные функции распределения молекул СО и N<sub>2</sub> по колебательным уровням:

$$f_n = \frac{N_n^{(1)}}{N^{(1)}}, \quad g_n = \frac{N_n^{(2)}}{N^{(2)}}, \quad (9)$$

где N<sup>(1)</sup> и N<sup>(2)</sup> – полные плотности молекул СО и N<sub>2</sub> соответственно. Тогда колебательная релаксация в смеси СО–N<sub>2</sub> с учетом индуцированного излучения будет описываться следующей системой дифференциальных уравнений:

$$\frac{df_n}{dt} = F_n + \left( \frac{\alpha_{n+1} I_{n+1}}{\Delta_n} - \frac{\alpha_n I_n}{\Delta_{n-1}} \right) \frac{T}{\xi_1 p} = F_n + \varphi_n, \quad (10)$$

$$n = 0, 1, \dots, v_1, \\ \frac{dg_n}{dt} = G_n, \quad n = 0, 1, \dots, v_2. \quad (11)$$

Здесь  $F_n$  и  $G_n$  описывают процессы VV- и VT-обмена ( $F_n$  учитывает также спонтанное излучение с возбужденных колебательных уровней CO);  $T$  и  $p$  – абсолютная температура и давление газовой смеси;  $\xi_1$  и  $\xi_2$  – молярные доли CO и N<sub>2</sub>;  $I_n$  и  $\alpha_n$  – интенсивность и коэффициент усиления для линии излучения  $n \rightarrow n - 1$  молекулы CO;  $\Delta_n = E_{n+1}^{(1)} - E_n^{(1)}$ . Выражения для величин  $F_n$  и  $G_n$  приведены в [2–4].

Если принимается во внимание перекрытие линий излучения, то член  $\varphi_n$  в уравнении (10) заменяется на выражение, приведенное в работе [4].

### 3. Уравнения газовой динамики

Одномерное колебательно-неравновесное течение невязкой газовой смеси CO–N<sub>2</sub> (CO–He, CO–Ar) в плоском канале переменного сечения описывалось уравнениями

$$\rho u S = G = \text{const}, \quad (12)$$

$$\rho u \frac{du}{dx} + \frac{dp}{dx} = 0, \quad (13)$$

$$\rho u \frac{d}{dx} \left( c_p T + \frac{u^2}{2} + e_{\text{vib}} \right) = \delta W - \sum_{v=1}^{v_1} \xi_1 \rho R E_v^{(1)} A_{v,v-1} f_v$$

$$- \sum_{v=1}^{v_1} \alpha_v I_v \equiv \psi, \quad (14)$$

$$e_{\text{vib}} = R \left( \xi_1 \sum_{v=1}^{v_1} E_v^{(1)} f_v + \xi_2 \sum_{v=1}^{v_2} E_v^{(2)} g_v \right), \quad (15)$$

$$p = \rho R T. \quad (16)$$

Здесь  $x$  – координата вдоль потока;  $\rho$  – плотность газа;  $u$  – его скорость;  $R = R_0/\mu$  – газовая постоянная;  $R_0$  – универсальная газовая постоянная;  $\mu$  – молярный вес смеси;  $S = HL$  – площадь поперечного сечения канала;  $H$  – высота канала;  $L$  – поперечный размер канала;  $G$  – массовый расход смеси через сечение канала за единицу времени;  $c_p$  – поступательно-вращательная удельная теплоемкость газа при постоянном давлении ( $c_p = 3.5R$  для смеси CO–N<sub>2</sub>);  $\delta = \delta_{\text{el}} + \delta_{\text{rot}} + \delta_{\text{vib}}$  – доля удельной мощности  $W$ , идущая в поступательные, вращательные и колебательные степени свободы молекул;  $e_{\text{vib}}$  – удельная колебательная энергия.

### 4. Уравнения для интенсивностей линий излучения

Выходная мощность излучения электроразрядного CO-лазера с резонатором Фабри–Перо рассчитывалась в приближении постоянного коэффициента усиления. В рамках этой модели предполагается, что при наличии излучения на каком-либо колебательно-вращательном переходе  $(n, j) \rightarrow (n - 1, j + 1)$  в каждом сечении резонатора CO-лазера выполняется условие [4]

$$\alpha_{nj}'^P = \alpha_{nj}^P + \sum_{k,m} (\alpha_{mk}^R \gamma_{njmk}^{PR} + \alpha_{mk}^P \gamma_{njmk}^{PP}) \\ = \alpha^* \equiv - \frac{\ln[(1-a)(1-a-\theta)]}{2L}, \quad (17)$$

где  $\alpha_{nj}'^P$  и  $\alpha_{nj}^P$  – коэффициенты усиления для  $P$ -перехода  $(n, j) \rightarrow (n - 1, j + 1)$  в CO с учетом и без учета перекрытия линий соответственно;  $\alpha^*$  – пороговый коэффициент усиления;  $L$  – расстояние между зеркалами;  $a$  – коэффициент поглощения зеркал;  $\theta$  – коэффициент пропускания выходного зеркала. При этом считается, что для заданного колебательного перехода  $n \rightarrow n - 1$  генерация происходит при изменении вращательного квантового числа  $j_n \rightarrow j_n + 1$ , соответствующего максимуму коэффициента усиления. В предположении о равновесном распределении молекул CO по вращательным уровням коэффициент  $\alpha_{nj}^P$  рассчитывается по формуле, приведенной в работе [5]. Факторы перекрытия линий  $\gamma_{njmk}^{PR}$ ,  $\gamma_{njmk}^{PP}$  описаны в [4] и вычисляются с использованием констант линий, приведенных в [6–9].

Уравнения для неизвестных интенсивностей  $I_n$  получаются дифференцированием (17) и приравниванием полученного выражения к нулю (с учетом уравнений колебательной кинетики).

Если перекрытие линий несущественно, получается трехдиагональная система алгебраических уравнений [10]:

$$A_n I_{n+1} - B_n I_n + C_n I_{n-1} + D_n = 0, \quad n = l + 1, \dots, m. \quad (18)$$

При выводе уравнения (18) были опущены члены, содержащие  $dp/dx$  и  $dT/dx$ . В практических вычислениях коэффициенты усиления в формулах для расчета коэффициентов  $A_n$ ,  $B_n$ ,  $C_n$  можно заменить на  $\alpha^*$ . Для решения системы уравнений (18) используется метод скалярной прогонки. При этом полагается, что  $I_l = 0$ ,  $I_{m+1} = 0$ . В расчетной программе натуральные числа  $l$  и  $m$  определяются в ходе вычислений.

Следует отметить, что интенсивности линий излучения можно рассчитывать с использованием более экономичной по времени и более простой методики, пригодной для расчета как без учета, так и с учетом перекрытия линий. При этом применяются следующие итерационные формулы, связывающие интенсивности и коэффициенты усиления для проточного CO-лазера:

$$I_n^{(l)}(x + \Delta x) = I_n^{(l-1)}(x + \Delta x) \exp \left[ \frac{\alpha_{nj}'^{(l)}(x + \Delta x)}{\alpha^*} - 1 \right]. \quad (19)$$

Здесь  $l$  – номер итерации;  $\Delta x$  – шаг расчета. В качестве начального приближения можно взять значения интенсивностей в предыдущем узле.

### 5. Уравнение Больцмана для ФРЭ

Для расчета распределения электронов по энергии  $U$  было использовано разложение ФРЭ по полиномам Лежандра. Уравнение Больцмана для сферически-симметричной компоненты ФРЭ записывалось в виде [11, 12]

$$\frac{1}{3} \left( \frac{E}{N} \right)^2 \frac{d}{dU} \left[ U \frac{df}{dU} \left( \sum_k \xi_k Q_k^{\text{el}} \right)^{-1} \right] + \frac{kT}{e} \frac{d}{dU} \times$$

$$\begin{aligned}
& \times \left\{ 2U \frac{df}{dU} \sum_k \xi_k \left[ U Q_k^{\text{el}}(U) \frac{m}{M_k} + 3B_k Q_k^{\text{rot}}(U) \right] \right\} \\
& + \frac{d}{dU} \left\{ 2U f(U) \sum_k \xi_k \left[ U Q_k^{\text{el}}(U) \frac{m}{M_k} + 3B_k Q_k^{\text{rot}}(U) \right] \right\} \\
& + \sum_{kms} \xi_k \xi_{km} [(U + U_s) f(U + U_s) Q_s^{\text{in}}(U + U_s) \\
& - U f(U) Q_s^{\text{in}}(U)] + \sum_{kms} \xi_k \xi_{ks} \left( \frac{g_{km}}{g_{ks}} \right) [U f(U - U_s) Q_s^{\text{in}}(U) \\
& - (U + U_s) f(U) Q_s^{\text{in}}(U + U_s)] = 0. \quad (20)
\end{aligned}$$

Здесь  $e$ ,  $m$  – заряд и масса электрона;  $\xi_k = N_k/N$ ;  $N = \sum N_k$ ;  $\xi_{km} = N_{km}/N$ ;  $N_{km}$  – число молекул  $k$ -го сорта на  $m$ -м уровне внутренней энергии;  $N$  – полное число атомов и молекул в единице объема;  $M_k$  – масса молекул  $k$ -го сорта;  $B_k$ ,  $Q_k^{\text{el}}(U)$ ,  $Q_k^{\text{rot}}(U)$  – постоянная вращения, транспортное сечение упругого рассеяния электронов на  $k$ -й молекуле и сечение возбуждения вращательных степеней свободы  $k$ -й молекулы соответственно;  $U$  – энергия электронов;  $U_s$  – энергия, теряемая электроном при столкновении с молекулой  $k$ -го сорта, при котором молекула переходит с  $m$ -го на  $s$ -й уровень внутренней энергии;  $Q_s^{\text{in}}$  – сечение соответствующего процесса;  $g_{km}$ ,  $g_{ks}$  – статистические веса уровней  $m$  и  $s$  соответственно. Последние две суммы в уравнении (20) описывают неупругие и сверхупругие столкновения электронов с молекулами.

На функцию  $f(U)$  накладывается граничное условие  $f(\infty) = 0$  и обычное условие нормировки

$$\int_0^\infty U^{1/2} f(U) dU = 1. \quad (21)$$

Уравнение (20) решалось нами на конечном интервале  $(0, U_n)$ . При  $U \geq U_n$  полагалось, что  $f(U) = 0$ . Уравнение (20) аппроксимировалось системой линейных алгебраических уравнений на сетке  $U_i$  ( $i = 1 \dots n$ ) с переменным шагом  $h_U$ . С точностью до постоянного множителя (который зависит от выбранного интервала интегрирования) использовалось следующее разбиение области интегрирования:  $h_U = 0.01$  В,  $0 < U < 0.5$  В;  $h_U = 0.05$  В,  $0.5 < U < 5$  В;  $h_U = 0.20$  В,  $5 < U < 15$  В. Такое расположение узлов сетки отражает экспоненциальный характер изменения ФРЭ и хорошо зарекомендовало себя на практике.

Если девозбуждение колебательных уровней не учитывается (т. е. рассматривается уравнение (20) без последней суммы), то система решается методом исключения неизвестных (полагается, что  $f_{n-1} = 1$ , и последовательно находятся  $f_{n-2}$ ,  $f_{n-3}$  и т. д. до  $f_1 \equiv f(0)$ ). Затем ФРЭ нормируется согласно формуле (21). При учете девозбуждения колебательных и электронных уровней система решается методом оптимального исключения [13], который оказывается заметно более эффективным, чем обычный метод Гаусса.

После нахождения нормализованной ФРЭ константы скоростей процессов с участием электронов вычисляются по формуле

$$K_{kms} = \left( \frac{2e}{m} \right)^{1/2} \int_0^\infty U Q_{kms}^{\text{in}}(U) f(U) dU. \quad (22)$$

Здесь  $K_{kms}$  – константа скорости возбуждения электроном уровня  $s$  молекулы  $k$ -го сорта, находящейся на уровне  $m$  (переход  $m \rightarrow s$ ). Вычисляются также доли энергии электрического поля, идущие в неупругие ( $\delta_{kms}$ ), поступательные ( $\delta_{\text{el}}$ ), вращательные ( $\delta_{\text{rot}}$ ) и колебательные степени свободы молекул, а также на возбуждение электронных уровней и ионизацию атомов и молекул.

Константы скоростей обратных процессов рассчитываются по формуле

$$K'_{kms} = \left( \frac{2e}{m} \right)^{1/2} \int_{U_{kms}}^\infty U \left( \frac{g_{ks}}{g_{km}} \right) Q_{kms}(U) f(U - U_{kms}) dU. \quad (23)$$

Затем по известным формулам вычисляются доли энергии, идущие из неупругих ( $\delta'_{kms}$ ) и из поступательных ( $\delta'_{\text{el}}$ ) степеней свободы атомов и молекул, а также из вращательных степеней свободы молекул ( $\delta'_{\text{rot}}$ ).

Если умножить уравнение (20) на  $U dU$  и проинтегрировать от 0 до  $\infty$ , то получается уравнение баланса энергии электронов, которое можно записать в виде

$$\begin{aligned}
& \delta_{\text{el}} + \delta_{\text{rot}} + \sum_{kms} \delta_{kms} \\
& - \left( 1 + \delta'_{\text{el}} + \delta'_{\text{rot}} + \sum_{kms} \delta'_{kms} \right) = 0. \quad (24)
\end{aligned}$$

При вычислениях это соотношение выполняется с некоторой погрешностью  $\Delta$ . За относительную погрешность вычислений нами принималась величина

$$\varepsilon = \left| \Delta \left( \delta_{\text{el}} + \delta_{\text{rot}} + \sum_{kms} \delta_{kms} \right)^{-1} \right|. \quad (25)$$

В расчетах нами использовались сечения процессов рассеяния электронов на молекулах, приведенные в [11], где собраны результаты многих работ по экспериментальному и теоретическому определению сечений процессов. В используемой программе база данных хранится в виде одномерного массива. Она может быть расширена за счет включения других газовых компонентов, а также скорректирована по мере появления более надежных данных по сечениям процессов рассеяния электронов на атомах и молекулах.

Интервал интегрирования выбирается так, чтобы относительное изменение ФРЭ на нем составляло  $10^{14} - 10^{17}$ . В методе оптимального исключения число арифметических операций  $\sim n^3$ , где  $n$  – число узлов разностной сетки. Расчеты для различных смесей показывают, что на интервале интегрирования  $(0, 15)$  В при  $n = 191$  относительная погрешность вычислений  $\varepsilon \leq 0.02$ , а при  $n = 300$  имеем  $\varepsilon \leq 0.01$ . При этом время расчета ФРЭ с учетом девозбуждения на компьютерах типа «Пентиум» при  $n = 191$  составляет  $\sim 1$  с. Это делает возможным пересчет энергетического распределения электронов и интегральных характеристик ФРЭ фактически на каждом шаге вдоль разрядной камеры (или на каждом шаге по времени для электроионизационных лазеров).

## 6. Численный метод

Обычно решение представленной выше системы уравнений, моделирующей проточный электроразрядный СО-лазер, включая расчет ФРЭ, представляет собой трудную задачу. Предлагаемый метод расчета колеба-

тельно-неравновесного течения лазерной смеси CO–N<sub>2</sub> (CO–He, CO–Ar и др.) фактически является методом расщепления, который сводится к последовательному раздельному решению уравнений колебательной кинетики, газовой динамики и уравнений для интенсивностей линий излучения.

Таким образом, расчеты в произвольном сечении резонатора сводятся к следующему «глобальному» итерационному процессу: 1) определение населенностей колебательных уровней  $f_n, g_n$  в точке  $x_{m+1}$  при известных величинах  $f_n, g_n$  в точке  $x_m$  и значениях  $u, T, p, I_n$  в точках  $x_m, x_{m+1}$ ; 2) определение  $u, T, p$  в точке  $x_{m+1}$  при известных  $f_n, g_n, I_n$  в точках  $x_m, x_{m+1}$ ; 3) расчет  $I_n$  в точке  $x_{m+1}$  при известных  $f_n, g_n, u, T, p$  в точках  $x_m, x_{m+1}$ .

На первой стадии решения рассматриваемой задачи к уравнениям колебательной кинетики (10), (11) применяется полунеявная разностная схема [14]

$$f_n^{m+1} - f_n^m = \Delta x \left[ 0.6 \left( \frac{F_n}{u} \right)^{m+1} + 0.4 \left( \frac{F_n}{u} \right)^m \right] + \varphi_n, \quad (26)$$

$$g_n^{m+1} - g_n^m = \Delta x \left[ 0.6 \left( \frac{G_n}{u} \right)^{m+1} + 0.4 \left( \frac{G_n}{u} \right)^m \right]. \quad (27)$$

Здесь следует учитывать, что

$$F_n = A_n f_{n+1} + B_n f_n + C_n f_{n-1} + D_n, \quad (28)$$

$$G_n = A_n^* g_{n+1} + B_n^* g_n + C_n^* g_{n-1} + D_n^*, \quad (29)$$

где коэффициенты  $A_n, B_n, C_n, A_n^*, B_n^*, C_n^*$  зависят от  $f_0, f_1, \dots, f_{v_1}, g_0, g_1, \dots, g_{v_2}$ . Поэтому для решения системы нелинейных алгебраических уравнений (26), (27) применяется последовательность двух скалярных прогонок с итерациями.

Итерационный метод строится следующим образом. Задаются начальные значения населенностей на слое  $m+1$  (их можно принять равными значениям  $f_n, g_n$  в предыдущей точке  $x_m$ ) и вычисляются коэффициенты  $A_n, B_n, C_n, A_n^*, B_n^*, C_n^*$ . Для определения следующего приближения методом прогонки решаются системы уравнений (26) и (27). Затем вновь вычисляются коэффициенты  $A_n, B_n, C_n, A_n^*, B_n^*, C_n^*$  и процесс повторяется вплоть до выполнения условия сходимости итераций.

Нами учитывались одноквантовые столкновительные и спонтанные VV-переходы в молекулах CO. Следует подчеркнуть, что в работе [15] была отмечена важность учета многоквантовых столкновительных VV-переходов в молекулах CO при  $n > 14$ . Очевидно, что при включении в рассмотрение двухквантовых VV-переходов в молекуле CO вместо трехдиагональных систем уравнений (26), (27) необходимо решать пятидиагональные системы уравнений, а при учете трех- и четырехквантовых VV-переходов – соответственно семидиагональные и девятидиагональные. Однако многоквантовые VV-переходы можно учесть и оставаясь в рамках трехдиагональной системы, если населенности для уровней, отстоящих от рассматриваемого на  $|\Delta n| \geq 2$ , брать из предыдущей итерации.

На второй стадии уравнения газодинамики (13), (14) записываются в виде

$$\frac{dh}{dx} = \frac{\psi}{\rho u}, \quad h = c_p T + \frac{u^2}{2} + e_{\text{vib}}, \quad (30)$$

$$\frac{dq}{dx} = p \frac{dS}{dx}, \quad q = Gu + pS. \quad (31)$$

Для решения уравнений (30), (31) применяется полунеявная разностная схема [14]

$$h^{m+1} - h^m = \Delta x \left[ 0.6 \left( \frac{\psi}{\rho u} \right)^{m+1} + 0.4 \left( \frac{\psi}{\rho u} \right)^m \right], \quad (32)$$

$$q^{m+1} - q^m = \Delta x \left[ 0.6 \left( p \frac{dS}{dx} \right)^{m+1} + 0.4 \left( p \frac{dS}{dx} \right)^m \right]. \quad (33)$$

С учетом выражения для  $h$  (30) из формулы (33) получается выражение для  $p^{m+1}$ :

$$p^{m+1} = \left[ Gu^m + p^m S^m + 0.4 \Delta x p^m \left( \frac{dS}{dx} \right)^m - Gu^{m+1} \right] \\ \times \left[ S^{m+1} - 0.6 \Delta x \left( \frac{dS}{dx} \right)^{m+1} \right]^{-1}. \quad (34)$$

Из уравнений (12), (16) следует выражение для  $T^{m+1}$ :

$$T^{m+1} = \frac{p^{m+1} u^{m+1} S^{m+1}}{RG}. \quad (35)$$

Из уравнений (30), (32) с использованием соотношений (34), (35) получаем

$$c_p T^{m+1} + \frac{(u^{m+1})^2}{2} + e_{\text{vib}}^{m+1} - h^m \\ = \frac{\Delta x (0.4 \psi^m S^m + 0.6 \psi^{m+1} S^{m+1})}{G}. \quad (36)$$

Подставляя в (36) выражения (34) и (35), получаем квадратное уравнение относительно  $u^{m+1}$ . Оно может быть записано в виде

$$A \left[ (u^{m+1})^2 - (u^m)^2 \right] + B(u^{m+1} - u^m) + C = 0, \quad (37)$$

где

$$A = 0.5 - \frac{c_p D}{R};$$

$$B = c_p D \left[ Gu^m + p^m S^m + 0.4 p^m \left( \frac{dS}{dx} \right)^m \Delta x \right] (RG)^{-1}; \\ D = S^{m+1} \left[ S^{m+1} - 0.6 \left( \frac{dS}{dx} \right)^{m+1} \Delta x \right]^{-1}; \quad (38)$$

$$C = A(u^m)^2 + Bu^m + e_{\text{vib}}^{m+1} - h^m$$

$$- \frac{\Delta x (0.4 \psi^m S^m + 0.6 \psi^{m+1} S^{m+1})}{G}.$$

Один из корней уравнения (37) отвечает дозвуковому потоку газа, другой – сверхзвуковому.

С учетом (37) величина  $u^{m+1}$  определяется с помощью следующей итерационной процедуры:

$$u_0^{m+1} = u^m, \quad u_{k+1}^{m+1} = u^m - \frac{C}{A(u_k^{m+1} + u^m) + B}, \quad (39)$$

$$k = 0, 1, 2, \dots,$$

где  $k$  – номер итерации. При этом используется условие сходимости

$$\frac{|u_{k+1}^{m+1} - u_k^{m+1}|}{u_k^{m+1}} \leq \varepsilon. \quad (40)$$

Как показывают расчеты, сходимость для  $\varepsilon \leq 10^{-3}$  достигается за 1–3 итерации при шаге  $\Delta x = 0.01$  см. После этого из выражений (34) и (35) вычисляются значения  $p^{m+1}$  и  $T^{m+1}$ .

Третья стадия – вычисление интенсивностей линий – уже была описана в разд.4.

В случае электроионизационного СО-лазера вместо (26), (27) решается система уравнений

$$f_n^{m+1} - f_n^m = \Delta t [0.6(F_n)^{m+1} + 0.4(F_n)^m] + \varphi_n, \quad (41)$$

$$g_n^{m+1} - g_n^m = \Delta t [0.6(G_n)^{m+1} + 0.4(G_n)^m], \quad (42)$$

а вместо (19) – уравнение

$$I_n^{(l)}(t + \Delta t) = I_n^{(l-1)}(t + \Delta t) \exp \left[ \frac{\alpha'_{nj}(t + \Delta t)}{\alpha^*} - 1 \right], \quad (43)$$

где  $\Delta t$  – шаг расчета.

Проведенные расчеты показывают, что вычисления газодинамических параметров  $u, T, p$  в точке  $x_{m+1}$  можно проводить уже после итерационных расчетов  $f_n, g_n, I_n$  в этой точке, т.е. вторую стадию можно исключить из «глобальной» итерации.

## 7. Результаты и их обсуждение

Схема проточного газоразрядного СО-лазера, использованная при расчетах, показана на рис.1. Газовый поток направлен параллельно оси  $x$ . Удельная мощность накачки  $W$  как функция координаты  $x$  задается на интервале  $0 \leq x \leq x_H$ .

На рис.2 приведены расчетные зависимости КПД проточного лазера на смеси состава CO:N<sub>2</sub> = 1:9 от удельной вкладываемой мощности  $W$ , полученные при различных условиях. Видно, что учет сверхупругих столкновений предсказывает уменьшение КПД (кривая 3 на рис.2). При этом наблюдается увеличение, насыщение, а затем и некоторое понижение КПД лазера при увеличении мощности разряда. Это можно объяснить перераспределением энергии колебательного возбуждения от молекул CO к молекулам N<sub>2</sub>, обусловленным сверхупру-

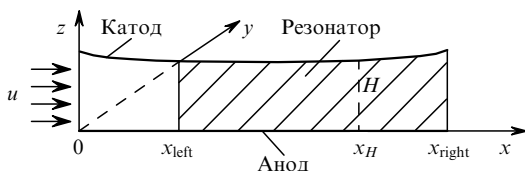


Рис.1. Схема проточного газоразрядного СО-лазера:  
 $0 \leq x \leq x_H$  – область электрического разряда между катодом и анодом;  $x_{\text{left}} \leq x \leq x_{\text{right}}$  – область резонатора Фабри–Перо, расположенного параллельно оси  $y$ .

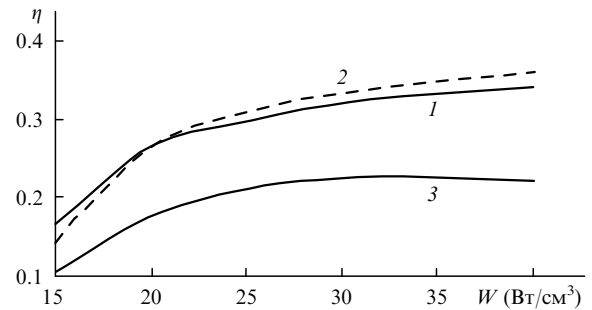


Рис.2. Расчетные зависимости КПД проточного СО-лазера  $\eta$  от вложенной удельной мощности  $W$  при постоянном коэффициенте усиления (1), постоянной интенсивности (2) и постоянном коэффициенте усиления с учетом сверхупругих столкновений (3) для  $E/N = 2 \cdot 10^{-17}$  В·см<sup>2</sup>, давления на входе в разрядно-резонаторную камеру  $p = 10$  кПа,  $T = 90$  К,  $u = 70$  м/с, длины разрядной камеры  $x_H = 9$  см и параметров резонатора  $x_{\text{left}} = 4$  см,  $x_{\text{right}} = 10$  см,  $a = 0.01$ ,  $L = 40$  см,  $H = 1$  см.

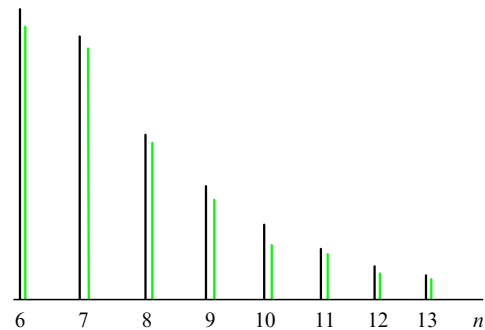


Рис.3. Спектры излучения СО-лазера, полученные при расчете методом постоянной интенсивности (черные линии) и методом постоянного коэффициента усиления (серые линии).

гими столкновениями электронов с этими молекулами. Такой механизм был предложен в работе [16], посвященной импульсным СО-лазерам.

На рис.3 представлен рассчитанный спектр генерации СО-лазера для переходов  $n \rightarrow n - 1$ . Распределение коэффициентов усиления  $\alpha_{6j_6}^P$  и  $\alpha_{8j_8}^P$  вдоль оси  $x$ , рассчитанных по методу постоянной интенсивности, приведено на рис.4. Максимумы коэффициентов усиления достигаются непосредственно перед резонатором. Затем происходит быстрое уменьшение инверсной населенности и на участке  $4.5 < x < 9$  см оба коэффициента усиления остаются чуть выше порогового коэффициента  $\alpha^* \approx 0.67$  м<sup>-1</sup>. После отключения накачки ( $x = 9$  см) коэффициенты  $\alpha_{6j_6}^P$  и  $\alpha_{8j_8}^P$  уменьшаются до 0.35 м<sup>-1</sup>.

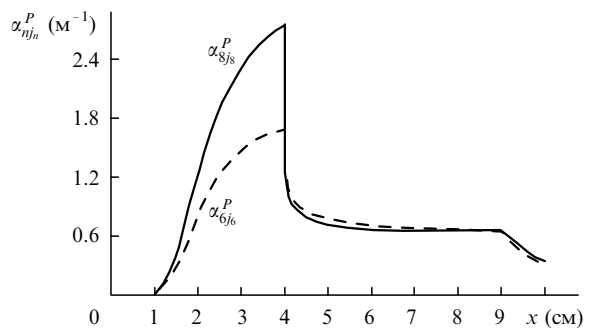


Рис.4. Пространственное распределение коэффициентов усиления  $\alpha_{8j_8}^P$  и  $\alpha_{6j_6}^P$  вдоль разрядно-резонаторной камеры.

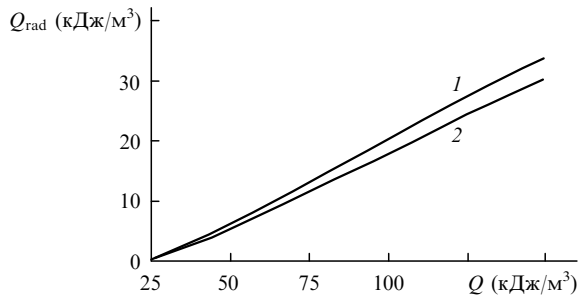


Рис.5. Расчетные (1) и экспериментальные [17] (2) зависимости удельной энергии излучения  $Q_{\text{rad}}$  от вложенной удельной энергии  $Q$  для импульсного CO-лазера. Смесь состава CO:N<sub>2</sub> = 1:6, начальные температура газа  $T = 100$  К и давление  $p = 18.3$  кПа,  $\tau = 100$  мкс,  $\alpha^* = 0.4$  м<sup>-1</sup>.

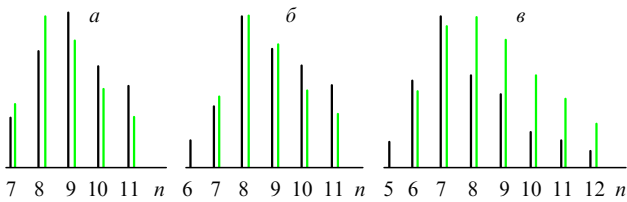


Рис.6. Распределения энергии выходного излучения по номерам переходов при  $\tau = 100$  мкс,  $Q = 50$  (а),  $60$  (б) и  $120$  Дж/л (в). Черные линии – эксперимент [17], серые – расчет при  $E/N = 2.46 \cdot 10^{-17}$  (а),  $2.7 \cdot 10^{-17}$  (б) и  $3.8 \cdot 10^{-17}$  В·см<sup>2</sup> (в).

Далее рассмотрим результаты расчетов для импульсных электроионизационных CO-лазеров. На рис.5 представлены зависимости удельной энергии лазера  $Q_{\text{rad}}$  от удельной энергии разряда  $Q = en_e v_e E\tau$ , где  $n_e$  – концентрация электронов;  $v_e$  – их дрейфовая скорость;  $E$  – напряженность приложенного электрического поля;  $\tau$  – длительность импульса накачки. Кривая 1 соответствует расчетным значениям, полученным при  $E/N$ , изменяющихся в интервале  $2.45 - 4.0 \cdot 10^{-17}$  В·см<sup>2</sup>, а кривая 2 построена по экспериментальным данным работы [17]. Параметры  $E/N$ , при которых расчетные значения  $Q_{\text{rad}}$  совпадают с экспериментальными, оказываются ниже тех, которые соответствуют эксперименту.

На рис.6 приведены распределения энергии выходного излучения для различных переходов и энерговкладов при  $\tau = 100$  мкс. Серые линии соответствуют расчетам при параметрах  $E/N$ , подобранных искусственным путем для достижения совпадения расчетных и экспериментальных значений  $Q_{\text{rad}}$ . Расчеты, проведенные для значений  $E/N$ , определенных из эксперимента [17], дают завышенные КПД и спектры излучения, смещенные в коротковолновую область. Учет перекрытия линий для рассмотренных здесь давлений не оказывает существенного влияния на результаты. Возможно, учет изотопного

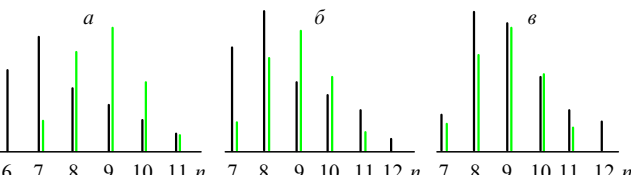


Рис.7. Распределения энергии выходного излучения по номерам колебательных уровней при  $p = 18.6$  кПа,  $T = 100$  К,  $W = 2$  кВт/см<sup>3</sup>,  $\tau = 100$  мкс,  $\alpha^* = 0.4$  м<sup>-1</sup>. Чёрные линии – расчет с учетом перекрытия линий при  $E/N = 8.7 \cdot 10^{-17}$  (а),  $4.5 \cdot 10^{-17}$  (б) и  $3.5 \cdot 10^{-17}$  В·см<sup>2</sup> (в); серые линии – эксперимент [18, 19] при  $E/N = 8.7 \cdot 10^{-17}$  В·см<sup>2</sup>.

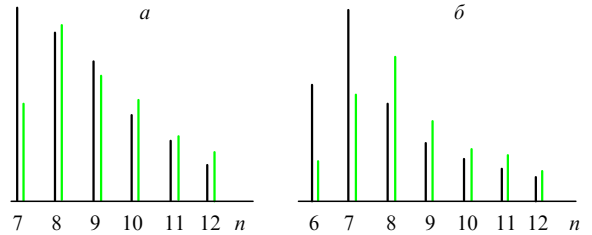


Рис.8. Рассчитанные с учетом (серые линии) и без учета (черные линии) перекрытия линий распределения энергии выходного излучения при  $p = 53.2$  кПа,  $T = 100$  К,  $W = 16.3$  кВт/см<sup>3</sup>,  $\tau = 35$  мкс,  $\alpha^* = 0.4$  м<sup>-1</sup>,  $E/N = 4.5 \cdot 10^{-17}$  (а) и  $8.7 \cdot 10^{-17}$  В·см<sup>2</sup> (б).

состава CO улучшил бы согласование расчетов с экспериментом.

На рис.7 представлены результаты расчетов распределений выходной энергии по номерам колебательных уровней для импульсного CO-лазера при различных значениях  $E/N$  и результатах экспериментов [18, 19]. Из них следует, что данному энерговкладу соответствует приведенная напряженность электрического поля  $E/N = 8.7 \times 10^{-17}$  В·см<sup>2</sup> в начальный момент времени. Поскольку в экспериментах изменение напряженности поля в разрядном промежутке за время разряда не превышало 30 %, то в расчете  $E/N$  полагалось постоянным. Следует отметить, что учет перекрытия линий в данном случае практически не меняет результатов расчета и не позволяет получить лучшее согласие их с результатами эксперимента. Добиться этого согласия можно, если искусственно снизить  $E/N$ , используемое в расчете, с  $8.7 \cdot 10^{-17}$  до  $3.57 \cdot 10^{-17}$  В·см<sup>2</sup>.

Аналогичные приведенным на рис.7 зависимости, полученные при других исходных параметрах, показаны на рис.8. Видно, что даже при значительном увеличении давления, когда перекрытие линий излучения увеличивается, спектр излучения смещается в длинноволновую область не более чем на  $\Delta n = 1$ . Анализ полученных результатов позволяет сделать вывод о том, что перекрытие линий приводит к смещению спектра генерации в длинноволновую область и уменьшению КПД лазера.

## 8. Заключение

Предложен эффективный метод расчета проточных газоразрядных и импульсных электроионизационных CO-лазеров. Математическая модель проточного газоразрядного CO-лазера включает 110 уравнений колебательной кинетики для молекул CO и N<sub>2</sub>, уравнения радиационной газодинамики, а также уравнение для функции распределения электронов по энергиям. Расчеты показали, что можно ограничиться учетом 20 колебательных уровней азота и 40 колебательных уровней моноокси углерода, поскольку населенности высшестоящих уровней становятся пренебрежимо малыми. Предложенный метод является фактически методом расщепления и позволяет решать системы уравнений колебательной кинетики, газодинамики и уравнения для интенсивностей линий излучения в резонаторе по отдельности. Разработанная программа позволяет рассчитывать населенности колебательных уровней молекул CO и N<sub>2</sub>, коэффициенты усиления для колебательно-вращательных переходов в CO, интенсивности линий излучения CO-лазера, его выходную мощность и КПД. Имеющееся расхождение с экспериментом может быть объяснено тем, что

получаемая из расчетов ФРЭЭ для электрической мощности, идущая в поступательные и вращательные степени свободы молекул, оказывается ниже измеренной в эксперименте. Модель можно усовершенствовать также путем учета двухквантовых и многоквантовых VV-переходов в молекуле CO.

1. Арасланов Ш.Ф., Сафиуллин Р.К. *Матер.докл. II Междунар. симп. по энергетике, окружающей среде и экономике* (Казань, 1998, т. II, с. 80).
2. Гордиец Б.Ф., Осипов А.И., Шелепин Л.А. *Кинетические процессы в газах и молекулярные лазеры* (М., Наука, 1980).
3. Данилычев В.А., Керимов О.М., Ковш И.Б. *Молекулярные газовые лазеры высокого давления* (Итоги науки и техники. Сер. Радиотехника. М., 1977, т.12).
4. Булавин Р.Е., Бучанов В.В., Молодых Э.И. *Квантовая электроника*, **11**, 688 (1984).
5. Диодюков А.И., Кирко В.Ю., Кулагин Ю.А., Шелепин Л.А. *Труды ФИАН*, **144**, 107 (1984).
6. Конев Ю.Б., Кочетов И.В., Певгов В.Г., Шарков В.Ф. *Препринт ИАЭ № 2821* (М., 1977).
7. Хьюбер К.П., Герцберг Г. *Константы двухатомных молекул* (М., Мир, 1984, ч.1).
8. Mantz A.W., Maillard J.-P., Roth B.W., Narahari Rao K. *J.Molecular Spectroscopy*, **57**, 155 (1975).
9. Лосев С.А., Макаров В.Н. В кн. *Теоретическое исследование процессов в газодинамических лазерах* (М., 1979, с. 87).
10. Конев Ю.Б., Кочетов И.В., Певгов В.Г. *ЖТФ*, **49**, 1266 (1979).
11. Арасланов Ш.Ф. *Расчет функции распределения электронов по энергиям в слабоионизованной плазме разряда в смеси газов CO<sub>2</sub>, N<sub>2</sub>, CO, O<sub>2</sub>, H<sub>2</sub>, Ne* (Казань, НИИ математики и механики им. Н.Г.Чеботарева при Казанском гос.ун-те. Рукопись депонирована в ВИНТИ, № 2187-В87, 1987).
12. Арасланов Ш.Ф., Сафиуллин Р.К. *Изв.вузов. Сер.Проблемы энергетики*, № 8, 61 (1999).
13. Крылов В.И., Бобков В.В., Монастырный П.И. *Вычислительные методы* (М., Наука, 1976, т.1).
14. Лосев С.А. *Газодинамические лазеры* (М., Наука, 1977).
15. Ионин А.А., Климачев Ю.М., Конев Ю.Б., Курносов А.К., Напартович А.П., Синицын Д.В., Терехов Ю.В. *Квантовая электроника*, **30**, 573 (2000).
16. Исламов Р.Ш., Конев Ю.Б., Кочетов И.В., Курносов А.К. *Квантовая электроника*, **11**, 210 (1984).
17. Басов Н.Г., Данилычев В.А., Ионин А.А., Казакевич В.С., Ковш И.Б., Полетаев Н.Л. *Квантовая электроника*, **6**, 1215 (1979).
18. Басов Н.Г., Данилычев В.А., Ионин А.А., Ковш И.Б. *Труды ФИАН*, **116**, 54 (1979).
19. Басов Н.Г., Данилычев В.А., Ионин А.А., Казакевич В.С., Ковш И.Б., Полетаев Н.Л. *Квантовая электроника*, **6**, 1208 (1979).